



تحلیل مصرف انرژی در شبکه حسگر بی‌سیم

با الگوی مبتنی بر حسگری فشرده

محمد رضا قادری^{۱*}، وحید طباطبا وکیلی^۲ و منصور شیخان^۳

^۱دانشکده برق، دانشگاه آزاد اسلامی، واحد تهران جنوب

^۲دانشکده برق، دانشگاه علم و صنعت ایران

چکیده

مهمنترین چالش در شبکه‌های حسگر بی‌سیم، به کمینه‌رساندن مصرف انرژی در باقی گره‌های حسگر و افزایش طول عمر شبکه است. یکی از روش‌های مؤثر در کاهش مصرف انرژی در این شبکه‌ها، حسگری فشرده است که با کاهش داده‌های ارسالی، موجب کاهش مصرف انرژی در شبکه می‌شود. از طرفی، برای مقابله با چالش مصرف انرژی، شناخت کامل منابع مصرف انرژی در شبکه ضروری است. این موضوع اهمیت پژوهش در خصوص تحلیل مصرف انرژی در شبکه‌های حسگر بی‌سیم را آشکار می‌سازد. برای نیل به این هدف، وجود الگویی که بتواند میزان مصرف انرژی در همه شاخص‌های شبکه را تحلیل کند، ضروری خواهد بود. تاکنون الگوهای مختلفی برای تحلیل مصرف انرژی در شبکه حسگر بی‌سیم ارائه شده‌اند. اما الگوی کاملی برای تحلیل انرژی مصرفی در شبکه‌های حسگر مبتنی بر حسگری فشرده ارائه نشده‌است. در این مقاله به ارائه الگوی کاملی برای تحلیل مصرف انرژی مبتنی بر حسگری فشرده پرداخته شده‌است. بر این اساس، نخست، الگوهای سیگنال در حسگری فشرده را دسته‌بندی کرده و سپس، تحلیل کاملی از انرژی مصرفی در واحدهای مخابر و محاسبه، در گره‌های حسگر و همچنین میزان مصرف انرژی در هر دوره زمانی نمونه‌برداری در شبکه حسگر مبتنی بر حسگری فشرده، به عمل آورده‌ایم. روابط کاربردی برای محاسبه مصرف انرژی در همه مؤلفه‌های گره‌های حسگر و نیز مصرف انرژی در شبکه، ارائه شده‌اند. این الگو می‌تواند به طراحی بهینه شبکه‌های حسگر بی‌سیم مبتنی بر حسگری فشرده با رویکرد بهبود مصرف انرژی کمک مؤثری کند.

واژگان کلیدی: شبکه حسگر بی‌سیم، حسگری فشرده، الگوی انرژی، تحلیل انرژی، تجمعی داده‌های فشرده

Energy Consumption Analysis based on Compressive Sensing Model in Wireless Sensor Networks

Mohammad Reza Ghaderi^{*1}, Vahid Tabataba Vakili², Mansour Sheikhan³

^{1,2,3}Department of Electrical Engineering, Islamic Azad University, South Tehran Branch

²Department of Electrical Engineering, Iran University of Science and Technology

Abstract

Nowadays, wireless sensor networks (WSNs) have found many applications in a variety of topics. The main purpose of these networks is to measure environmental phenomena and to send read data in multi-hop paths to the sink to be exploited by users. The most important challenge in WSNs is to minimize energy consumption in sensor batteries and increase network lifetime. One of the most important techniques for reducing energy consumption in WSNs is the compressive sensing (CS) technique. CS reduces network energy consumption by reducing data transmission in the network and increasing the network lifetime. The use of CS technique in a WSN results in the production of different models of CS signals. These models are based on spatial, temporal and spatiotemporal sensors readings. On the other hand, in order to overcome the challenge of energy consumption, the exact recognition of energy resources in the network is essential.

* Corresponding author

* نویسنده عهده‌دار مکاتبات

* Corresponding author

* نویسنده عهده‌دار مکاتبات

• تاریخ ارسال مقاله: ۱۳۹۸/۲/۲۹ • تاریخ پذیرش: ۱۳۹۹/۷/۲۹ • تاریخ انتشار: ۱۴۰۲/۷/۳۰ • نوع مطالعه: پژوهشی

Energy consumption in a sensor node can be divided into two parts: (a) the energy used for computing; and (b) the energy consumed by the communication. The energy used for the computing consists of three components: (a) sensor energy consumption (data reading), (b) background energy consumption, and (c) energy consumption for processing. The power consumption of the communication includes the following components: (a) energy consumption for data transmission, (b) energy consumption for data receiving, (c) energy consumption for sending messages, and (d) energy consumption for receiving messages. Hence, the existence of a model for analyzing energy consumption in a CS-based WSN is necessary. Several models have been developed to analyze energy consumption in a WSN, but there is not a complete model for analyzing energy consumption in a CS-based WSN.

In this paper, we study all energy consumption components mentioned above in a CS-based WSN and present a complete model for energy consumption analysis. This model can optimize the design of CS-based WSNs energy efficiency improvement approach. To evaluate the proposed model, we use this model to analyze energy consumption in the compressive data gathering technique which is a CS-based data aggregation method. Using this model can optimize the design of CS-based WSNs.

Key words: Wireless sensor network, Compressive sensing, Energy model, Compressive data gathering.

است که ابعاد $M \times N$ دارد ($M < N$). این به آن معنی است که طول بردار اندازه (y) نسبت به طول بردار سیگنال هدف (x) بسیار کوچک‌تر است. این پدیده، تحقق روش حسگری فشرده را به دنبال دارد. اگر فرض کنیم که x سیگنالی تنک با تنکی k باشد، آن‌گاه معادله $y = \psi x$ را می‌توان به صورت $y = \psi \phi \alpha$ نوشت که در آن $x = \phi \alpha$ است. در حالت کلی ϕ یک تبدیل پایه (مانند تبدیل موجک) یا تبدیل کسینوسی گستته است که به صورت یک ماتریس $N \times N$ نشان داده‌می‌شود. در واقع x نمایش k - α تنک سیگنال α است که از ضرب آن در ماتریس ϕ به دست آمده است. معادله $y = \psi \phi \alpha$ را می‌توان به صورت $y = A\alpha$ نیز نشان داد، که در آن ماتریس A که به آن ماتریس حسگری گفته می‌شود، حاصل ضرب ماتریس‌های تبدیل و اندازه است ($A \in \mathbb{R}^{M \times N}$). به طور کلی با استفاده از روش کمینه‌سازی نرم¹ [6, 7] و یا سایر روش‌ها، مانند الگوریتم‌های مبتنی بر OMP² [8, 9] می‌توان بردار داده‌های اصلی (α) را از روی بردار اندازه (y) به صورت $\min \| \alpha \|_{l_1}; s.t. y - \psi \phi \alpha$ بازیابی کرد. اما دو شرط اساسی برای ماتریس‌های ψ و ϕ وجود دارد که نقش مهمی را در بازیابی ثابت و پایدار سیگنال حسگری فشرده ایفا می‌کنند. این دو شرط عبارتند از خاصیت ایزومنتری انحصاری (RIP)³ برای ماتریس A [10] و همدوسی متقابل بین ماتریس‌های ψ و ϕ [11]. برای تحقق روش حسگری فشرده، M باید از رابطه $M > C \cdot k \cdot \log N \cdot \mu^2(\psi, \phi)$ تبعیت کند. در این رابطه C یک مقدار ثابت بزرگ‌تر از یک، k عدد تنکی و (ψ, ϕ) μ

¹-norm minimization

² Orthogonal Matching Pursuit

³ Restricted Isometric Property

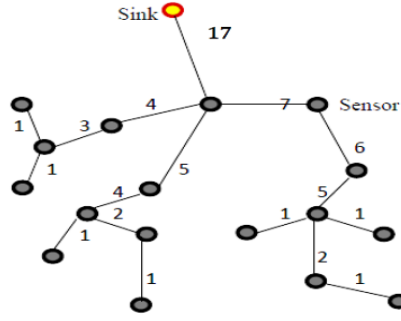
۱- مقدمه

امروزه شبکه‌های حسگر بی‌سیم به‌طور گستره‌های براي اهداف سنجش و نظارت، از قبیل نظارت‌های محیطی، مراقبت‌های نظامی و اتوماسیون صنعتی استفاده می‌شوند [1, 2]. حسگرها اغلب با باتری‌هایی تجهیز می‌شوند که غیرقابل شارژ هستند. بنابراین، بهره انرژی، یک موضوع مهم در شبکه‌های حسگر بی‌سیم با رویکرد افزایش عمر مفید شبکه است [3]. مصرف انرژی و الگوکردن آن، موضوعات مهمی در طراحی و پیاده‌سازی شبکه‌های حسگر بی‌سیم هستند که به طراحان شبکه در بهینه‌سازی حسگر بی‌سیم هستند [4]. مصرف انرژی در یک گره حسگر بستگی به سه عملکرد آن دارد؛ که عبارتند از: حسگر، مخابره (ارسال و دریافت سیگنال‌ها)، و پردازش سیگنال‌ها. ارسال و دریافت سیگنال‌ها بیشترین میزان مصرف انرژی را به خود اختصاص می‌دهد. به همین دلیل رویکرد پژوهشگران در کاهش مصرف انرژی، بیشتر متوجه کاهش هزینه مخابراتی شبکه است. یکی از روش‌های کارآمد در کاهش هزینه مخابراتی در شبکه حسگر بی‌سیم، رویکرد حسگری فشرده است [5]. با به کارگیری روش حسگری فشرده، داده‌های ارسالی به مقصد کاهش یافته و در نتیجه، مصرف انرژی در شبکه نیز کاهش می‌یابد.

برای بیان اصول حسگری فشرده، یک سامانه خطی با رابطه $y = \psi x$ را در نظر می‌گیریم. در این رابطه، x سیگنال هدف است که به صورت برداری به طول N نشان داده شده و y بردار اندازه‌ای به طول M است. در این سامانه، ψ ماتریس اندازه در روش حسگری فشرده

فصل نیم

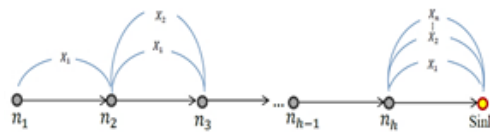




(شکل-۲): مثالی از ارسال داده‌ها به صورت RDG

در یک ساختار درختی با ۱۶ گره حسگر

(Figure-2): An example of data transmission in RDG form in tree topology with 16 nodes

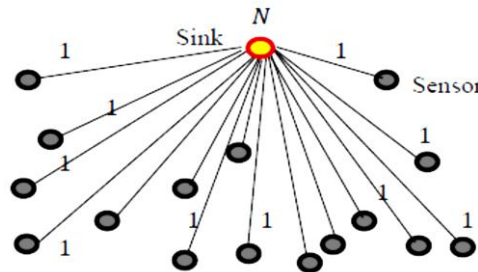


(شکل-۳): تجمعی داده در مسیر به صورت RDG

(Figure-3): Data aggregation in the route in RDG form

در پروتکل‌های تجمعی داده در شبکه حسگر که در آنها از روش حسگری فشرده استفاده نمی‌شود، داده‌ها به صورت RDG ارسال می‌شوند. در RDG، تعداد بسته‌های ارسالی در طول مسیر، یکسان نیست و بهازای رله شدن بسته‌های داده از یک حسگر به حسگر بعدی در هر مسیر، بسته‌های داده حسگر اولیه در مسیر با بسته‌های حسگر دوم، جمع شده، سپس، بسته‌های حسگر دوم با حسگر سوم در مسیر جمع می‌شود و این موضوع به همین ترتیب ادامه می‌یابد تا مجموع همه بسته‌ها به مقصد برسند. اما با به کارگیری روش حسگری فشرده، می‌توان با ارسال داده‌هایی که همگی دارای اندازه یکسان هستند، تعداد بسته کمتری را به مقصد فرستاد. روش تجمعی داده‌های فشرده (CDG)² [12] برای تجمعی داده در شبکه‌های حسگر بی سیم با مقیاس بزرگ معرفی شد. در شبکه‌های حسگر با مقیاس بزرگ که ارسال داده‌های قرائت‌شده به مقصد، در مسیرهای چند‌جهشی انجام می‌شود، به کارگیری این روش، می‌توان با ارسال داده‌هایی که همگی دارای اندازه یکسان M هستند، علاوه بر متعادل‌ساختن بار در شبکه، تعداد بسته کمتری را به مقصد فرستاد. شاخص M نشان‌دهنده اندازه بردار فشرده‌شده از داده‌های قرائت‌شده توسط حسگرها است که بر اساس الگوهای مختلف سیگنال حسگری فشرده، که در بخش بعد به معروف آن‌ها خواهیم پرداخت، به دست آمده است (در اینجا بدون در نظر گرفتن الگوی سیگنال حسگری فشرده، طول بردار فشرده شده را با M نشان می‌دهیم). شکل (۴) مثالی از ارسال داده به روش CDG را در یک ساختار درختی نشان می‌دهد.

ضریب همدوسی بین ماتریس‌های تبدیل و اندازه است. به کارگیری روش حسگری فشرده در شبکه حسگر بی سیم، منجر به تولید الگوهای مختلفی از سیگنال حسگری فشرده می‌شود. این الگوها بر اساس قرائت‌های مکانی، زمانی، و مکانی-زمانی حسگرها به دست می‌آیند که در بخش‌های بعدی به بیان آن می‌پردازیم. در حالت داده‌ها بدون فشرده‌سازی به مقصد ارسال می‌شوند، بر اساس توپولوژی شبکه، ارسال داده‌ها می‌تواند به صورت مستقیم (توپولوژی ستاره) یا در مسیرهای چندجهشی انجام شود. در توپولوژی ستاره، هر یک از حسگرهای شبکه، یک بسته داده را در هر دوره نمونه‌برداری به طور مستقیم به مقصد ارسال می‌کند. این توپولوژی در شکل (۱) نشان داده شده است.



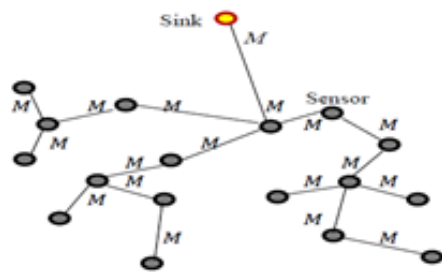
(شکل-۱): ارسال داده در توپولوژی ستاره با روش معمولی

(Figure-1): Data transmission in star topology

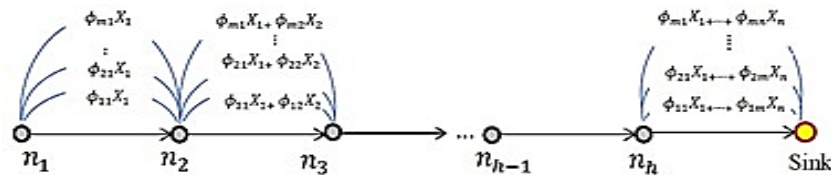
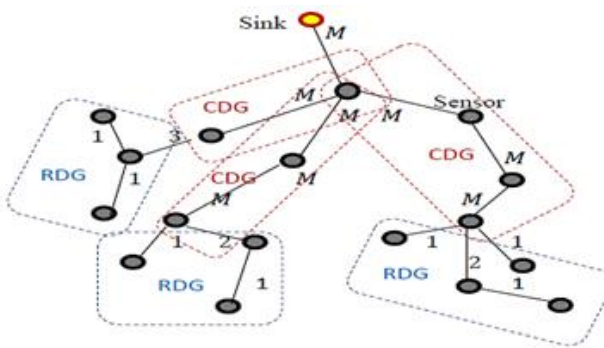
اما در شبکه‌های حسگر با مقیاس بزرگ که ارسال داده‌ها به مقصد در مسیرهای چندجهشی رخ می‌دهد، تجمعی ردیفی داده‌ها (RDG¹) محقق می‌شود. یک RDG یک روش مرسوم برای تجمعی داده در شبکه‌های حسگر بی سیم در حالت معمولی (بدون استفاده از حسگر فشرده) است. در RDG، گره‌های نزدیک به مقصد نسبت به گره‌هایی که آغاز مسیر واقع شده‌اند، بسته‌های بیشتری را مخابره می‌کنند. این موضوع سبب می‌شود که مصرف انرژی در حسگرها نامتعادل شده و برخی از حسگرها نسبت به حسگرهای دیگر، زودتر باتری خود را از دست بدند. شکل (۲) مثالی از ارسال داده به صورت RDG را در یک ساختار درختی نشان می‌دهد.

در این حالت اگر مسیری مانند مسیر r را در نظر بگیریم که شامل h حسگر است، برای مخابره داده‌ها به صورت RDG، تعداد ارسال بسته‌ها در مسیر از مرتبه (h^2) خواهد بود. شکل (۳) مثالی از ارسال داده به صورت RDG را نشان می‌دهد.

¹ Raw Data Gathering² Compressive Data Gathering

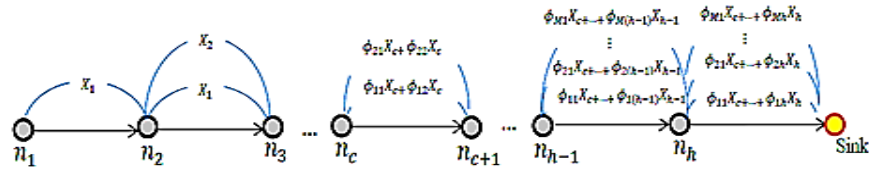
(شکل-۴): مثالی از ارسال داده‌ها به صورت CDG در یک ساختار درختی با ۱۶ گره حسگر ($M \ll 16$)

(Figure-4): An example of data transmission in CDG form in a tree topology with 16 nodes

(شکل-۵): ارسال داده در یک مسیر چند-جهشی با h گره حسگر به صورت CDG(Figure-5): Data transmission in a multi-hop path with h nodes in CDG form

(شکل-۶): مثالی از HCS در یک ساختار درختی

(Figure-6): An example of HCS in a tree topology



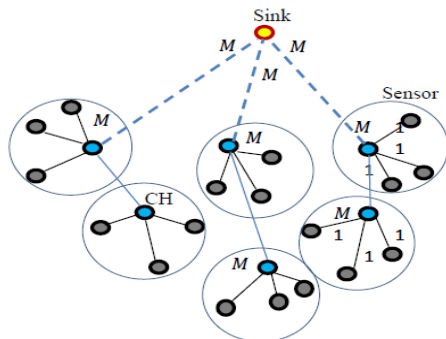
(شکل-۷): مثالی از ارسال داده به صورت HCS در یک مسیر

(Figure-7): An example of data transmission in HCS form in a route

به همین ترتیب، هر گره بالادستی در مسیر، حاصل ضربهای خود، یعنی (h) $\phi_{ij}X_j$; $(j=1,2,\dots,h)$ را با y_i جمع می‌کند. در نهایت، مقصد امین جمع، یعنی خواهد کرد [12]. مقصد، همه M تا y_i در مسیر را دریافت خواهد کرد. اما در روش CDG گرههای آغاز مسیر، تعداد بسته‌های بیشتری را در قیاس با RDG می‌کنند. بنابراین، کارایی CDG برای گرههای آغاز مسیر کمتر از RDG است. برای حل این مشکل، روش حسگری

اگر مسیری مطابق شکل (۵) را در نظر بگیریم، در این صورت بر اساس روش DG، اولین گره در این مسیر یعنی گره n_1 ، قرائت خود (X_1) را در ضرایب ماتریس اندازه ($i=1,2,\dots,M$) ϕ_{i1} ; $(i=1,2,\dots,M)$ ضرب کرده و حاصل ضرب را به گره n_2 ارسال خواهد کرد. گرهی n_2 نیز به همین ترتیب، قرائت خود یعنی X_2 را در ضرایب ϕ_{i2} ; $(i=1,2,\dots,M)$ ضرب کرده و حاصل ضربهای $\phi_{i1}x_1$ و $\phi_{i2}x_2$ را با هم جمع و این حاصل جمع $\phi_{i2}x_2\phi_{i1}x_1$ (+) را به گره بعدی ارسال می‌کند.





(شکل-۸): مثالی از یک شبکه خوشبندی شده با خوشبندی یکسان (نقطه چین، مسیرهای چندجهشی را نشان می دهد).
(Figure-8): An example of a clustered network with equal clusters (dashed lines show the multi-hop routes)

در HCDG، حسگرهای درون خوشبندی، داده‌ها را به صورت RDG به سرخوشه ارسال می‌کنند، اما سرخوشه‌ها داده‌ها را به صورت CDG در مسیرهای چندجهشی به مقصد می‌فرستند.
ما در این مقاله به ارائه الگویی برای تحلیل مصرف انرژی مبتنی بر حسگری فشرده خواهیم پرداخت. ادامه این مقاله چنین دنبال می‌شود: نخست، در بخش دوم به معرفی الگوهای سیگنال حسگری فشرده می‌پردازیم و سپس، در بخش سوم مؤلفه‌های مصرف انرژی در شبکه حسگر بی سیم مبتنی بر حسگری فشرده را معرفی می‌کنیم. در بخش چهارم، بر اساس مؤلفه‌های مصرف انرژی، الگویی را به منظور تحلیل مصرف انرژی در شبکه‌های حسگر بی سیم مبتنی بر حسگری فشرده ارائه خواهیم کرد. در بخش پنجم نیز به ارزیابی کارایی الگوی پیشنهادی پرداخته و در پایان به نتیجه‌گیری از مطالب ارائه شده می‌پردازیم.

۲- الگوهای سیگنال حسگری فشرده

۱- الگوی سیگنال فشرده مکانی^۳

شبکه حسگر بی سیمی را با N گره حسگر و یک گره مقصود در نظر می‌گیریم. با فرض قابل فشرده بودن سیگنال‌های قرائت شده توسط همه حسگرهای (N) در بازه زمانی t ^۴ بر طبق نظریه حسگری فشرده، پایه تبدیلی مانند $x^t \in \mathbb{R}^N$ وجود دارد؛ به طوری که داشته باشیم: $\phi_s \in \mathbb{R}^N$ و $\phi_s \alpha_{s,t}$ ؛ $t = 1, 2, \dots, T$ $x^t \in \mathbb{R}^N$ ؛ $t = 1, 2, \dots, T$ نشان‌دهنده برداری شامل N نمونه قرائت شده توسط همه حسگرهای شبکه در بازه زمانی t ^۵ و $\alpha_{s,t} \in \mathbb{R}^N$ بردار ضرایب قابل فشرده شدن با تنکی‌های

³ Spatial

فشرده ترکیبی (HCS)^۶ پیشنهاد شد [13]. HCS برای بهبود روش CDG توسعه یافته است. در واقع پیشنهاد اصلی در HCS این است که در تجمعی داده در مسیری مانند r « فقط زمانی از CDG استفاده شود که اندازه داده‌های تجمعی شده بزرگ‌تر از M باشد » و در غیر این صورت از RDG استفاده شود. به عبارت دیگر، در HCS برای گره‌های آغاز مسیر از RDG استفاده شده و برای بقیه گره‌های مسیر، روش CDG استفاده می‌شود. در نتیجه، HCS می‌تواند تعداد ارسال (و دریافت) در مسیر را کاهش دهد. شکل (۶) مثالی از تجمعی داده در روش HCS را در یک ساختار درختی نشان می‌دهد.

اگر در HCS مسیری مانند شکل (۷) را که در آن تعداد h حسگر قرار دارد، در نظر بگیریم، در این صورت ارسال داده تا گره c ام ($c \leq M$) به صورت RDG و از گره c ام به بعد (تا گره h ام) به صورت CDG خواهد بود. اما به کارگیری روش HCS در شبکه‌های حسگر بزرگ که درصد گره‌های برگ در آنها زیاد است، موجب می‌شود که تعداد ارسال به صورت RDG که تابعی از این درصد است، نیز افزایش یافته و در نتیجه، باعث افزایش هزینه مخابراتی شود.

برای مقابله با افزایش هزینه مخابراتی در HCS، روش دیگری با نام تجمعی سلسله مراتبی داده‌های فشرده فشرده روی درخت مسیریابی اعمال می‌شود، اما روش‌های خوشبندی مزایای بیشتری، از جمله کاهش میزان خطای متعادل‌ساختن بار ترافیکی نسبت به مسیریابی درختی دارند. در روش HCDG ناحیه حسگری خوشبندی می‌شود و به این ترتیب، در هر خوش، از ماتریس با اندازه کوچکتری استفاده شده و می‌توان آن را جایگزین ماتریس اندازه کل شبکه نمود. تعداد ارسال در HCDG تابعی از نرخ فشرده‌سازی در خوشبندی است. بنابراین، الگوریتم HCDG خوشبندی می‌تواند به طور مؤثری روی کارایی اثرگذار باشد. در ساختار خوشبندی، اندازه خوشبندی می‌تواند یکسان و یا غیریکسان باشد و تعداد حسگرهای یکسان یا غیریکسانی را نیز در خود جای دهد. در ساختار خوشبندی، در هر دوره نمونه‌برداری یکی از حسگرهای هر خوش به عنوان حسگر سرخوشه (CH) انتخاب می‌شود. سرخوشه‌ها وظیفه تجمعی و ارسال داده به مقصد را بر عهده دارند. شکل (۸) مثالی از یک شبکه حسگر با خوشبندی یکسان را نشان می‌دهد.

¹ Hybrid Compressive Sensing

² Hierarchical Compressive Data Gathering

$X = [x^1, \alpha_{s,1}, \alpha_{s,2}, \dots, \alpha_{s,T}]$ تبدیل در حوزهٔ بنابراین، می‌توان فشرده‌سازی در حوزهٔ توأم مکان-زمان را مطرح نمود. در این حالت برای به‌دست آوردن یک ماتریس پایهٔ تبدیل توأم، ماتریس‌های تبدیل پایه در حوزه‌های مکان و زمان را می‌توان بر اساس ضرب کرونکر در هم ادغام کرد. پایه‌های تنک‌سازی کرونکر می‌توانند الگوهای مختلف همبستگی در دو بعد را به‌خوبی با هم ترکیب کنند و ماتریس توأمی را به‌صورت $\in (\phi_s \otimes \phi_t)$ $\phi_{ST} = \phi_s[\alpha_{s,1}, \dots, \alpha_{s,T}]$ به‌وجود آورند [15-18]. اگر فرض کنیم که $X_i^T \in \mathbb{R}^{TN \times TN}$ بردار تغییر شکل یافتهٔ X باشد که می‌تواند به‌صورت رابطه $X_i^T = [(x_1)^T, \dots, (x_N)^T]^T \in \mathbb{R}^{TN}$ نمایش داده شود، در این صورت رابطه $X_i^T = \alpha_{s,T} \phi_{ST}$ برقرار خواهد بود. در این رابطه $\alpha_{s,T} \in \mathbb{R}^{TN}$ ضرایب قابل فشرده شدن در حوزهٔ تبدیل (حوزهٔ مکان-زمان) است. بردارهای اندازه i y_i^T برای کل شبکهٔ حسگر در یک دورهٔ نمونه‌برداری T را می‌توان به‌صورت $y_i^T = \psi_{ST} X_i^T$ نشان داد که در این رابطه $y_i^T \in \mathbb{R}^{\sum m_i}$ است. با مفروضات بالا، هر حسگر $i \in N$ دارای $m_i < T$ اندازه در حسگری فشرده در حوزهٔ زمان است. با یادآوری $y_i = \psi_i x_i$ و $\psi_i \in \mathbb{R}^{m_i \times T}$ در حسگری فشردهٔ زمانی، می‌توان نتیجه گرفت که ماتریس ψ_{ST} در حسگری فشردهٔ مکان-زمان، ماتریس قطری-بلوکی به‌صورت $\psi_{ST} = diag\{\psi_1, \dots, \psi_N\} \in \mathbb{R}^{\sum_{i \in N} m_i \times TN}$ است که هریک از عناصر واقع در قطر آن، ماتریس اندازهٔ قرائت‌های زمانی یکی از حسگرهای شبکه است. به‌عبارت دیگر، در روش حسگری فشردهٔ مکان-زمان، اگر هر یک از ستون‌های ماتریس حسگری را نشان‌دهندهٔ مقادیر قرائت‌شده توسط همهٔ حسگرها، در یک شیار زمانی از یک دوره (یا یک فریم زمانی) نمونه‌برداری در نظر بگیریم، آنگاه ماتریس حاصل از نمونه‌برداری در همهٔ شیارهای زمانی (یعنی در یک دورهٔ نمونه‌برداری)، یک ماتریس قطری-بلوکی خواهد بود که هر عنصر از قطر این ماتریس، نشان‌دهندهٔ بلوکی از مقادیر قرائت‌شده توسط همهٔ حسگرها در یک شیار زمانی است. به‌این ترتیب، در هر دورهٔ نمونه‌برداری، یک ماتریس قطری-بلوکی از قرائت‌های همهٔ حسگرها در همهٔ شیارهای زمانی، شکل می‌گیرد.

اگر فرض کنیم که ماتریس اندازه ψ برای همهٔ حسگرها یکسان و برابر باشد، آنگاه می‌توان با توجه به خاصیت ضرب کرونکر، عبارت $(I_N \otimes \psi) \phi_{ST} = \psi_{ST}$ را برای ماتریس اندازهٔ توأم در نظر گرفته و رابطه $y_i^T = \psi_{ST} X_i^T$ را به‌صورت $y_i^T = (I_N \otimes \psi)(X_i^T)$ نوشت. در این رابطه

α_s در حوزهٔ مکان است. با تعریف k_t مکان سیگنال X را می‌توان به‌صورت $X^T = \phi_s[\alpha_{s,1}, \dots, \alpha_{s,T}]$ نشان داد. به‌عبارت دیگر، خواهیم داشت: $[x^1, \dots, x^T] = [x^1, \dots, x^T]$ $m_t < N$ که فرض کنیم که تعداد $t = 1, 2, \dots, T$ اندازه از نمونه‌ها در هر بازهٔ زمانی $y^t = \psi_s x^t$ $\psi_s \in \mathbb{R}^{m_t \times N}$ که $y^t \in \mathbb{R}^{m_t}$ نشان‌دهندهٔ بردار اندازه و $\psi_s \in \mathbb{R}^{m_t \times N}$ نشان‌دهندهٔ ماتریس اندازه است. در این صورت، مجموعهٔ بردارهای اندازهٔ تولید شده در یک دورهٔ نمونه‌برداری $(T, Y = \{y^1, \dots, y^T\}) = \{\psi_s x^1, \dots, \psi_s x^T\}$ در نتیجه، اندازهٔ تولید شده در هر دورهٔ نمونه‌برداری برابر خواهد بود با: $M_{Spatial} = \sum_{t=1}^T m_t$ سیگنال فشردهٔ مکانی به‌صورت زیر تعریف خواهد شد: $Y = ; Y \in \mathbb{R}^{M_{Spatial}}$ (1) $\psi_s X$

۲-۲- الگوی سیگنال فشردهٔ زمانی^۱

اگر فرض کنیم سیگنال $(N, x_i \in \mathbb{R}^T; i = 1, 2, \dots, N)$ نشان‌دهندهٔ برداری شامل T نمونهٔ قرائت‌شده توسط حسگر i است، در حوزهٔ زمان قابل فشرده شدن باشد، آنگاه طبق نظریهٔ حسگری فشرده، تبدیل پایه‌ای $x_i = \phi_T \alpha_{T,i}$ وجود دارد به‌طوری‌که: $\phi_T \in \mathbb{R}^{T \times T}$ بردار $\alpha_{T,i} \in \mathbb{R}^T$ در این رابطه $i = 1, 2, \dots, N$ قابل فشرده شدن با تکیه برای حسگر i در حوزهٔ زمان است. با تعریف $\alpha_T = [\alpha_{T,1}, \alpha_{T,2}, \dots, \alpha_{T,N}]$ می‌توان سیگنال X را با تبدیل در حوزهٔ زمان به‌صورت $X = \phi_T \alpha_T$ نشان داد: $X = [x_1, \dots, x_N] = \phi_T [\alpha_{T,1}, \alpha_{T,2}, \dots, \alpha_{T,N}]$ هر حسگر i ، بردار اندازه $y_i \in \mathbb{R}^{m_i}$ به طول $m_i < T$ را توسط ماتریس اندازه $\psi_i \in \mathbb{R}^{m_i \times T}$ به ابعاد $m_i \times T$ به صورت $y_i = \psi_i x_i$ تولید می‌کند. در این حالت اندازه‌های ارسال شده در شبکهٔ حسگر بی‌سیم عبارتند از: $Y = \{y_1, \dots, y_N\} = \{\psi_1 x_1, \dots, \psi_N x_N\}$ (2)

بنابراین، مجموع کل اندازهٔ قرائت‌های زمانی حسگرها که بر مبنای روش حسگری فشرده، در هر دورهٔ نمونه‌برداری T فشرده‌سازی شده‌اند برابر است با: $M_{Temporal} = \sum_{i=1}^N m_i$ زیر تعریف خواهد شد:

$$Y = \psi_T X; Y \in \mathbb{R}^{M_{Temporal}}$$
 (3)

۲-۳- الگوی سیگنال فشردهٔ مکانی-زمانی^۲

داده‌های قرائت‌شده از پدیده‌های طبیعی، اغلب در حوزه‌های زمان و مکان، همبستگی نشان می‌دهند [14].

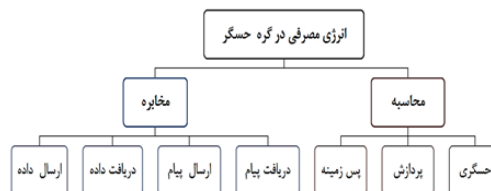
فصل نیم

^۱Temporal

^۲Spatio-Temporal



(مانند موقعیت مکانی و میزان انرژی باقیمانده در گره حسگر) در شبکه ارسال می‌کنند. شکل (۱۰) مؤلفه‌های مصرف انرژی را در گره حسگر نشان می‌دهد.



شکل (۱۰): مؤلفه‌های مصرف انرژی در گره حسگر

(Figure-10): Energy consumption components in a sensor node

۱-۳- انرژی مصرفی گره بابت محاسبه

انرژی مصرفی بابت محاسبه در هر گره حسگر را می‌توان از رابطه زیر به دست آورد:

$$E_{cmp} = E_{sen} + E_{bkg} + E_{prs} \quad (5)$$

در این رابطه E_{sen} انرژی مصرفی بابت حسگری، E_{bkg} انرژی مصرفی پس زمینه (انرژی مصرفی واحد پردازش مرکزی (CPU)²) در حالت آماده کار^۳ و E_{prs} انرژی مصرفی بابت پردازش سیگنال است. انرژی مصرفی بابت حسگری را می‌توان از رابطه زیر به دست آورد:

$$E_{sen} = B P_{sen} T_{opr} \quad (6)$$

در این رابطه P_{sen} توان مصرفی بابت حسگری است که شامل توان مصرفی در CPU، به علاوه توان مصرفی در مدارهای حسگر است. توان مصرفی بابت حسگری، توانی است که برای قرائت سیگنالی به طول B بایت تلف می‌شود. داده‌ای به طول B بایت، نیاز به B اجرای CPU دارد. در این رابطه T_{opr} مدت زمان اجرای یک دستور العمل (دستور کار؟) در CPU است.

استفاده از روش حسگری فشرده، تأثیری در انرژی مصرفی گره بابت حسگری ندارد. اما انرژی مصرفی بابت پردازش سیگنال با به کار گیری روش حسگری فشرده در شبکه‌ای با N حسگر که بردار اندازه فشرده شده‌ای به طول M (بدون درنظر گرفتن الگوی سیگنال فشرده شده) را تولید می‌کند، از رابطه زیر به دست می‌آید [۲۰]:

$$E_{prs} = N \epsilon_{mrd} + M N \epsilon_{add} + M \epsilon_{mwr} \quad (7)$$

در این رابطه ϵ_{mrd} ، ϵ_{add} و ϵ_{mwr} به ترتیب عبارتند از: انرژی مصرفی (به ازای بیت) بابت خواندن، جمع کردن و نوشتمن در حافظه واحد پردازش مرکزی (CPU). در روش حسگری فشرده، تعداد عملیات پردازش سیگنال را می‌توان از رابطه زیر به دست آورد:

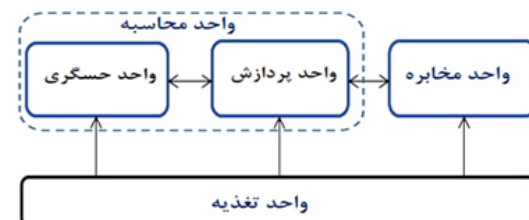
یک ماتریس واحد به ابعاد $N \times N$ است. تحت شرایط حسگری فشرده، بیشینه تعداد اندازه‌هایی که توسط هر گره ارسال می‌شود، برابر t است ($t = 1, 2, \dots, T$). بنابراین، تعداد کل اندازه‌های ارسالی به مقصد در شبکه حسگری، در حالت حسگری فشرده مکان-زمان برابر خواهد شد با:

$$M_{Spatio_Temporal} = \sum_{t=1}^T m_t \leq NT \quad \text{در نتیجه، الگوی سیگنال فشرده مکان-زمانی به صورت زیر ارائه می‌شود:}$$

$$\mathbf{Y} = \Psi \mathbf{x}; \quad \mathbf{Y} \in \mathbb{R}^{M_{Spatio_Temporal}} \quad (4)$$

۳- مؤلفه‌های مصرف انرژی در شبکه حسگر بی سیم مبتنی بر حسگری فشرده

به طور کلی، هر گره حسگر از چهار واحد: ۱- حسگری، ۲- پردازش، ۳- مخابره و ۴- تغذیه تشکیل می‌شود [۱۹]. شکل (۹) ساختار کلی یک گره حسگر را نشان می‌دهد.



شکل (۹): ساختار کلی یک گره حسگر [۱۹]

(Figure-9): General structure of a sensor node

بر اساس این ساختار می‌توان مصرف انرژی را در یک گره حسگر به دو بخش: (الف) انرژی مصرفی بابت محاسبه، و (ب) انرژی مصرفی بابت مخابره تقسیم‌بندی کرد. در این تقسیم‌بندی، انرژی مصرفی بابت محاسبه، شامل سه مؤلفه: ۱- انرژی مصرفی بابت حسگری (قرائت داده‌ها)، ۲- انرژی مصرفی پس زمینه^۱، و ۳- انرژی مصرفی بابت پردازش است [۲۰]. انرژی مصرفی بابت مخابره نیز شامل مؤلفه‌های: ۱- انرژی مصرفی بابت ارسال داده، ۲- انرژی مصرفی بابت دریافت داده، ۳- انرژی مصرفی بابت ارسال پیام و ۴- انرژی مصرفی بابت دریافت پیام است. منظور از «داده»، اطلاعاتی است که حسگرها از محیط پیرامونی خود قرائت کرده و منظور از «پیام» اطلاعاتی است که حسگرها برای آگاهی از شرایط خود و سایر حسگرها

¹ Background

² Central Processing Unit

³ Idle

$E_{rnd} = (\sum_{(i,j) \in D} w_{ij} E_{Tx_dat} + \sum_{(i,j) \in D} w_{ij} E_{Rx_dat} + \sum_{(i,j) \in D} z_{ij} E_{Tx_msg} + \sum_{(i,j) \in D} z_{ij} E_{Rx_msg}) + \sum_{i \in V} E_{cmp_i}$ در این رابطه، انرژی مصرفی بابت ارسال یک بسته داده (E_{Tx_dat})، انرژی مصرفی بابت دریافت یک بسته داده (E_{Rx_dat})، انرژی مصرفی بابت ارسال یک بسته پیام (E_{Tx_msg})، و انرژی مصرفی بابت دریافت یک بسته پیام (E_{Rx_msg}) به ترتیب از روابط زیر به دست می آیند:

$$E_{Tx_dat} = (E_{elec} + \epsilon_{amp} d_{ij}^\gamma) b_{dat} \quad (15)$$

$$E_{Rx_dat} = E_{elec} b_{dat} \quad (16)$$

$$E_{Tx_msg} = (E_{elec} + \epsilon_{amp} d_{ij}^\gamma) b_{msg} \quad (17)$$

$$E_{Rx_msg} = E_{elec} b_{msg} \quad (18)$$

در این روابط b_{dat} اندازه بسته داده، b_{msg} اندازه بسته پیام (بر حسب بیت) و d_{ij} فاصله بین دو گره i و j بر حسب متر است. اگر d_{ij} بزرگ‌تر یا مساوی با d_0 باشد در این صورت $\gamma = 2$ و ϵ_{amp} نیز نشان‌دهنده شاخص ارسال در الگوی انتشار فضای آزاد (ϵ_{fs}) خواهد بود. اگر d_{ij} کوچک‌تر از d_0 باشد، آنگاه $\gamma = 4$ و ϵ_{amp} به عنوان شاخص ارسال در الگوی فیدینگ چندمیسری (ϵ_{mp}) در نظر گرفته خواهد شد. همچنین، E_{cmp_i} در روابط بالا، نشان‌دهنده انرژی مصرفی بابت محاسبه در گره i است. با تعاریف بالا، می‌توان رابطه (۱۴) را به صورت زیر نوشت:

(۱۹)

$$E_{rnd} = b_{dat} \sum_{(i,j) \in D} w_{ij} (E_{elec} + \epsilon_{amp} d_{ij}^\gamma) + E_{elec} b_{dat} \sum_{(i,j) \in D} w_{ij} + b_{sig} \sum_{(i,j) \in D} z_{ij} (E_{elec} + \epsilon_{amp} d_{ij}^\gamma) + E_{elec} b_{msg} \sum_{(i,j) \in D} z_{ij} + \sum_{i \in V} E_{cmp_i}$$

در این رابطه، تعداد بسته داده مخابره شده (w_{ij}) بر اساس روش تجمعی داده، الگوی سیگنال فشرده شده و توبولوژی شبکه تعیین خواهد شد. کل انرژی مصرفی در شبکه را می‌توان از رابطه زیر به دست آورد:

$$E_{Total} = \sum_{rnd=1}^R E_{rnd} \quad (20)$$

در این رابطه، R نشان‌دهنده «عمر مفید شبکه» است که به صورت «تعداد دور نمونه‌برداری» تعریف می‌شود. در عمل، عمر مفید شبکه را می‌توان به صورت حاصل ضرب $R \times T$ نشان داد که در آن، T زمان یک دوره نمونه‌برداری است. شکل (۱۱) الگوی پیشنهادی مبتنی بر حسگری فشرده را نشان می‌دهد.

$$O_{prs} = MN + N + M \quad (8)$$

بر همین اساس، زمان مورد نیاز برای پردازش سیگنال در این حالت نیز از رابطه $T_{prs} = O_{prs} \times T_{opr}$ به دست خواهد آمد. انرژی مصرفی پس زمینه از رابطه زیر به دست می‌آید:

$$E_{bkg} = P_{bkg} T_{prs} \quad (9)$$

در این رابطه P_{bkg} توان مصرفی CPU در حالت آماده‌بکار و T_{prs} مدت زمان پردازش سیگنال در CPU است. در نتیجه، انرژی مصرفی پس زمینه را می‌توان از رابطه زیر به دست آورد:

$$E_{bkg} = P_{bkg} (MN + N + M) T_{opr} \quad (10)$$

۲-۳- انرژی مصرفی گره بابت مخابره

از روابط زیر برای محاسبه انرژی مصرفی بابت مخابره (ارسال و دریافت) یک بسته داده (یا یک بسته پیام) در گره حسگر استفاده می‌کنیم [۲۱]:

$$E_{Tx}(\mathbf{b}, \mathbf{d}) = \begin{cases} (E_{elec} + \epsilon_{fs} d^2) \mathbf{b}; & \mathbf{d} < d_0 \\ (E_{elec} + \epsilon_{mp} d^4) \mathbf{b}; & \mathbf{d} \geq d_0 \end{cases}$$

$$E_{Rx}(\mathbf{b}, \mathbf{d}) = E_{elec} \mathbf{b} \quad (12)$$

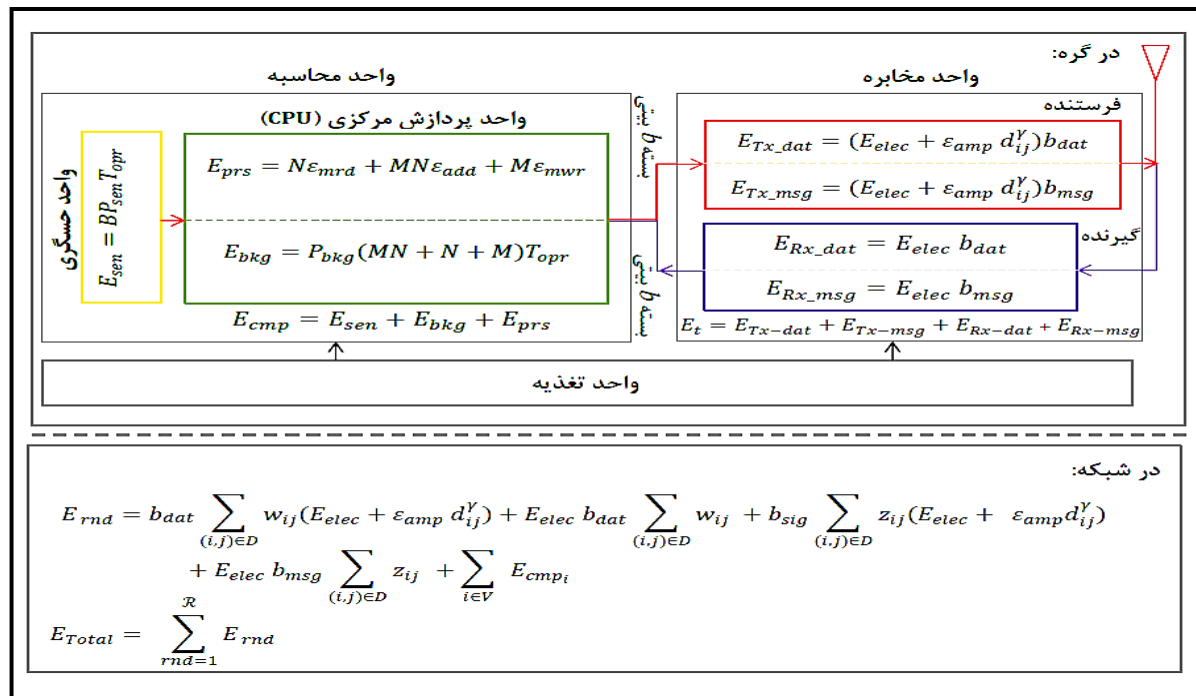
در این روابط، E_{Tx} انرژی ارسال و E_{Rx} انرژی دریافت برای ارسال و دریافت یک بسته \mathbf{b} بیتی (داده یا پیام) است که دو حسگر با فاصله \mathbf{d} از یکدیگر، ارسال و یا دریافت می‌کنند. همچنین، E_{elec} میزان مصرف انرژی به‌ازای بیت در مدارهای فرستنده و گیرنده گره حسگر، ϵ_{mp} و ϵ_{fs} به ترتیب شاخص تقویت‌کننده ارسال برای الگوی فضای آزاد و الگوی محو چند-مسیری را نشان می‌دهند. آستانه d_0 نیز از رابطه $d_0 = \sqrt{\epsilon_{fs}/\epsilon_{mp}}$ به دست می‌آید.

۲-۴- الگوی انرژی

انرژی مصرفی شبکه در هر دوره نمونه‌برداری را می‌توان معادل مجموع انرژی‌های مصرفی بابت مخابره و محاسبه در نظر گرفته و به صورت زیر نشان داد:

فصل نیم





(شکل-۱۱): الگوی پیشنهادی برای تحلیل مصرف انرژی در شبکه های حسگر بی سیم مبتنی بر حسگری فشرده

(Figure-11): Proposed model for energy consumption analysis in CS-based WSNs

مهم «افت» کانال در دو حالت: «فضای آزاد» و «فیدینگ چندمسیری» پرداخته شده است. در روابط مربوط به انرژی مصرفی بابت محاسبه و مخابره، M مقداری معلوم فرض می شود که با توجه به نرخ فشرده سازی و الگوی سیگنال حسگری فشرده شده تعیین شده است. بنابراین، در این قسمت بدون در نظر گرفتن الگوی سیگنال حسگری فشرده، فقط به کاربرد الگوی پیشنهادی برای تحلیل انرژی مصرفی بابت مخابره می پردازیم. تحلیل انرژی مصرفی بابت مخابره مستقل از نوع گره حسگر است و به دو عامل الگوی انتشار (γ) و تعداد بسته های مخابره شده (W_{ij}) بستگی دارد. تعداد بسته های مخابره شده پیام نیز به ساختار و پروتکل های به کار گرفته شده در شبکه وابسته است. به طور کلی برای تحلیل انرژی مصرفی بابت مخابره کافی است تعداد بسته های مخابره شده را به منظور قراردادن در رابطه (15) به دست آوریم.

به منظور تحلیل کارایی روش حسگری فشرده در کاهش مصرف انرژی در شبکه، نخست، مصرف انرژی را در حالتی که از حسگری فشرده استفاده نمی شود، بررسی می کنیم. در این حالت فرض می شود که از هیچ رمزگذاری تبدیلی نیز در شبکه استفاده نمی شود. در برخی روش های تجمعی داده، صرفاً از رمزگذاری تبدیل (که به مفهوم حسگری در حوزه تبدیل، مانند حوزه تبدیل کسینوسی گستته است) استفاده شده، و در برخی دیگر از

۵ - ارزیابی الگوی پیشنهادی

باید به این نکته توجه داشت که انرژی مصرفی بابت محاسبه در گره حسگر، بستگی به شاخص های حسگرها یی دارد که در شبکه استفاده شده اند. به عبارت دیگر، تحلیل مصرف انرژی بابت محاسبه، بر مبنای نوع حسگرها صورت می گیرد. شبیه سازی در محیط نرم افزار متلب^۱ انجام شده و هنگام شبیه سازی، شبکه ای با کاربرد خاص و در شرایط محیطی ویژه در نظر نبوده، و بنابراین، هیچ اطلاعی از شرایط محیطی و قیود شبکه وجود نداشته است. همچنین، برای محاسبه انرژی مصرفی بابت «مخابره» نیز به دلیل عدم اطلاع از کاربرد شبکه حسگر و شرایط محیطی آن، تنها الگوی کانال و افت ناشی از کانال که یک امر کلی و قابل تعمیم است، در نظر گرفته شده است. بر این اساس، الگوی کانال بر مبنای فاصله بین حسگرها در مسیر و توان ارسال در فرستنده حسگرها، در دو حالت کلی «فضای آزاد» و «فیدینگ چندمسیری» بروزی و محاسبه شده اند. از این رو در شبیه سازی های انجام شده در این مقاله، قیودی که وابسته به شرایط محیطی و نوع حسگرها و کاربرد آنهاست، در نظر گرفته نشده است. در این مقاله، به منظور اجتناب از پیچیدگی الگو، از تأثیر عوامل محیطی در کانال مخابراتی، صرف نظر شده و در خصوص شرایط کانال، فقط به تأثیر شاخص

^۱ MATLAB

نوع توپولوژی، مجموع تعداد ارسال‌ها در شبکه برابر با جمع ارسال‌ها در مسیرهایی است که در هر دوره نمونه-برداری در شبکه پدید آمده‌اند؛ اما در روش CDG، تجمعیت داده در مسیری مانند r که شامل h گره حسگر است، از مرتبه $O(Mh)$ است [12]. بنابراین، تعداد ارسال بسته‌های داده در مسیر r ام از رابطه زیر به‌دست خواهد آمد:

$$w_r(CDG) = \sum_{(i,j) \in A} w_{ij} = Mh \quad (23)$$

در این رابطه w_{ij} نشان‌دهنده تعداد ارسال بین دو حسگر جهش i و j در مسیر r است. بر اساس توپولوژی شبکه، مجموع ارسال‌ها در کل شبکه برابر با جمع ارسال‌ها در همه مسیرهایی است که در هر دوره نمونه‌برداری پدید آمده‌اند، یعنی: $w_{tot}(CDG) = \sum_{r \in R} w_r(CDG)$ که در این رابطه R تعداد کل مسیرهای پدیدآمده در هر دوره نمونه‌برداری است. تعداد کل اندازه موردنیاز در مقصد برای بازیابی دقیق سیگنال‌ها، برابر مجموع اندازه‌های تولیدشده در همه مسیرها است. اگر فرض کنیم که تعداد اندازه تولیدشده در همه مسیرها یکسان و برابر M باشد، در این صورت، تعداد کل اندازه دریافتی توسط مقصد در هر دوره نمونه‌برداری برابر $M \times R$ است. نیاز به یادآوری است که در توپولوژی چندجهشی، تعداد دریافت در هر مسیر، همواره یکی کمتر از تعداد ارسال است. زیرا حسگر آغازین در مسیر (حسگر منبع) بسته‌های را دریافت نمی‌کند. اما سایر حسگرهای مسیر، بسته‌های داده را، هم دریافت و هم ارسال می‌کنند. انتخاب مقدار M بر مبنای مسیر و تعداد حسگر واقع در آن صورت می‌گیرد. CDG در بهترین حالت، با اطمینان می‌تواند در شرایطی که $M = h/5$ است، سیگنال‌های دریافتی توسط مقصد را به دقت بازیابی کند [13, 12]. اما در روش HCS که ترکیبی از CDG و RDG است، تعداد ارسال در مسیری مانند مسیر r ام در هر دوره نمونه‌برداری از رابطه زیر به‌دست خواهد آمد:

$$w_r(HCS) = \sum_{(i,j) \in A} w_{ij} + \sum_{(k,l) \in A} w_{kl} = \frac{c^2 + c}{2} + m(h - c) \quad (24)$$

در این رابطه w_{ij} عبارت از فواصلی است که ارسال در آنها بین گره‌های i و j به صورت RDG صورت گرفته و منتظر از w_{kl} فواصلی است که ارسال در آنها بین گره‌های k و l به صورت CDG انجام می‌شود. جمع کل داده‌های ارسالی در هر دوره نمونه‌برداری در شبکه از مجموع داده‌های ارسالی در همه مسیرها به‌دست خواهد آمد. تأثیر پروتکلهای مسیریابی در میزان مصرف انرژی، به‌طور مستقیم به طول مسیر ارسال بسته‌های داده از حسگر

روش‌های ارائه شده در خصوص مسیریابی و تجمعیت داده، نه از تبدیل رمزگذاری و نه از روش حسگری فشرده، استفاده نمی‌شود. به منظور این که مقایسه‌ای بین روش‌هایی که از حسگری فشرده در تجمعیت داده استفاده می‌کنند، با روش‌هایی که نه از روش حسگری فشرده و نه از رمزگذاری تبدیل استفاده می‌کنند، صورت پذیرد، نخست، مصرف انرژی در روش‌های خالص تجمعیت داده (روش‌های بدون استفاده از رمزگذاری تبدیل و حسگری فشرده)، بررسی و ارزیابی شده و سپس، به مصرف انرژی در روش‌های مختلف مسیریابی و تجمعیت داده که مبتنی بر حسگری فشرده هستند، پرداخته شده تا به این وسیله نشان داده شود که همواره استفاده از روش حسگری فشرده (فارغ از نوع پروتکل مسیریابی)، موجب بهره‌وری مصرف انرژی در شبکه خواهد شد.

بنابراین، انرژی مصرفی بابت محاسبه، فقط بستگی به انرژی مصرفی بابت حسگری خواهد داشت. به عبارت دیگر، در این حالت انرژی مصرفی عبارت است از: $E_{cmp_Non_CS} = E_{sen}$ که در این رابطه انرژی مصرفی بابت قرائت یک سیگنال B بایتی را می‌توان از رابطه $E_{sen} = BP_{sen}T_{opr}$ توبولوژی ستاره که در آن از روش حسگری فشرده استفاده نمی‌شود، اگر i نشان‌دهنده گره‌های حسگر و Z نشان‌دهنده گره مقصد باشد، در این صورت تعداد بسته‌های ارسالی به مقصد در هر دوره نمونه‌برداری برابر تعداد کل حسگرهای شبکه خواهد بود. یعنی:

$$w_r(star) = \sum_{(i,j) \in A} w_{ij} = N \quad (21)$$

در این رابطه w_{ij} نشان‌دهنده تعداد ارسال بین حسگرهای i و j در مسیر r ام است. در این شبکه، بر اساس نوع توپولوژی، مجموع تعداد ارسال‌ها در شبکه برابر با جمع ارسال‌ها در مسیرهایی است که در هر دوره نمونه‌برداری در شبکه پدید آمده‌اند.

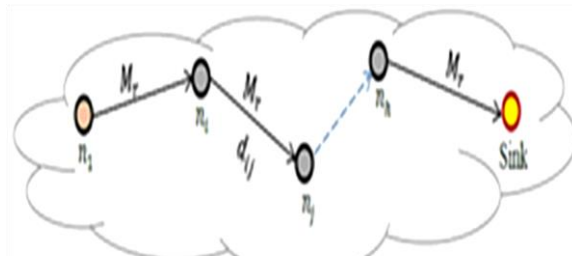
اما در همین حالت، اگر شبکه حسگر به صورت چندجهشی داده‌ها را به مقصد ارسال کند، در این صورت بسته‌های داده به صورت RDG به مقصد ارسال خواهند شد. در RDG تعداد بسته‌های ارسال شده در مسیری مانند r که شامل h گره حسگر باشد از رابطه زیر به‌دست می‌آید:

$$w_r(RDG) = \sum_{(i,j) \in A} w_{ij} = \frac{h^2 + h}{2} \quad (22)$$

در این رابطه w_{ij} نشان‌دهنده تعداد ارسال بین حسگرهای i و j در مسیر r ام است. در این شبکه، بر اساس

فصل بی

برای ارزیابی الگوی پیشنهادی، شبیه‌سازی‌ها براساس شاخص‌ها و مفروضات مندرج در جدول (۱) صورت می‌پذیرند. در این قسمت برای ارزیابی الگوی پیشنهادی، این الگو را در روش CDG به کار می‌بریم. این روش برای تجمعی داده در شبکه حسگر با پروتکل‌های مسیریابی تخت و نیز مسیریابی سلسله‌مراتی (خوشبندی ناحیه حسگری) کاربرد فراوانی دارد. در مرجع [30] کاربرد این روش در تجمعی داده با مسیریابی خوشبندی شده مطالعه شده است. در این ارزیابی، شبکه حسگری را در نظر می‌گیریم که تعداد N گره حسگر در آن به‌طور تصادفی و یکنواخت توزیع شده‌اند. فرض می‌کنیم که گره‌های حسگر از نوع Mica2 باشند. بنابراین، از شاخص‌های این حسگر برای تحلیل انرژی مصرفی استفاده می‌کنیم [25]. این گره حسگر شامل پردازنده Atmega 128L است. مشخصات Mica2 در جدول (۱) نشان داده شده است. همچنین شاخص‌های انرژی شبکه را نیز مطابق جدول (۱) در نظر می‌گیریم. براساس شاخص‌های ارسال (E_{mp}) و (E_{fs}) در شبکه، $d_0 = 88m$ خواهد شد. در این ارزیابی از الگوی انتشار فضای آزاد ($\gamma = 2$) استفاده شده است. طول بسته‌های داده و پیام را به ترتیب 1024 و 64 بیت در نظر می‌گیریم. در این ارزیابی به نحوه مسیریابی داده‌ها در شبکه نمی‌پردازیم و برای سادگی، تحلیل را در مسیری مانند r انجام می‌دهیم. مطابق شکل (۱۲) مسیری به طول h و میانگین فاصله حسگرها را در این مسیر $d_{ij} = 50m$ - متر در نظر می‌گیریم. حسگرهای مسیر، داده‌های فشرده شده را به‌صورت CDG به مقصد ارسال می‌کنند.

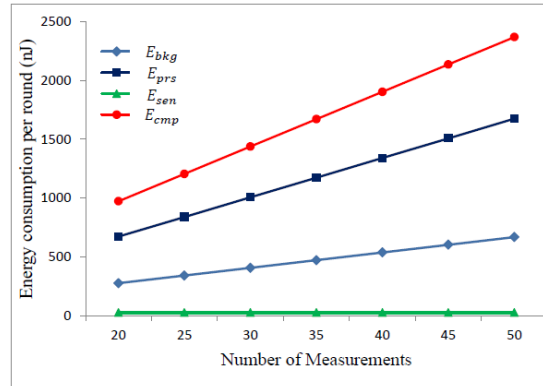


(شکل-۱۲): مسیری با h حسگر رله در روش CDG
(Figure-12): A route with h hop sensors in CDG technique

شکل (۱۳) نمودار تغییرات انرژی مصرفی بابت محاسبه E_{cmp} در این مسیر را به‌ازای مقادیر مختلفی از h در یک دوره نمونه‌برداری، همراه با مؤلفه‌های آن نشان می‌دهد. مشاهده می‌شود که انرژی مصرفی بابت حسگری (قرائت داده‌ها) کمترین و انرژی مصرفی بابت پردازش داده، بیشترین میزان مصرف انرژی را به خود اختصاص

منبع به مقصد مرتبط می‌شود. هر چه پروتکل مسیریابی به پیمایش مسیرهای کوتاه‌تری برای رله کردن بسته‌های داده بین حسگرهای واقع در مسیر منجر شود، میزان مصرف انرژی در حسگرهای فرستنده در مسیر کاهش می‌یابد. به‌ازای فواصل بین حسگر فرستنده و حسگر گیرنده، برای مقادیر کمتر از مقدار آستانه (d_0)، از الگوی «فضای آزاد» (توان دوم فاصله: d^2) و برای فواصل بیشتر از مقدار آستانه (d_0)، از الگوی «فیدینگ چندمسیری» (توان چهارم فاصله: d^4) برای محاسبه مصرف انرژی استفاده شده است. بنابراین، هر چه پروتکل مسیریابی منجر به پیمایش مسیرهای کوتاه‌تر شود، میزان مصرف انرژی با شدت بیشتری کاهش خواهد یافت.

هدف از نگارش این مقاله، ورود به پروتکل‌های مسیریابی یا ارائه روشی جدید برای مسیریابی نبوده است، بلکه هدف اصلی از نگارش این مقاله، تعریف یک الگوی جامع برای محاسبه کلیه انرژی‌های مصرفی در یک شبکه حسگری بی‌سیمی است که تجمعی داده در آن براساس حسگری فشرده انجام می‌شود. این الگو، فارغ‌ازین‌که پروتکل مسیریابی و تجمعی داده در شبکه حسگر به چه صورتی باشد، به‌طور کامل کاربرد داشته و می‌تواند انرژی مصرفی در گره‌ها و در شبکه را محاسبه نماید. همان‌گونه‌که در متن مقاله تشریح شده است، انرژی مصرفی در شبکه، در بخش‌های محاسباتی و مخباراتی ارزیابی می‌شوند. از منظر انرژی مصرفی بابت مخابر، هر چه طول بسته‌ها بزرگ‌تر باشد، انرژی بیشتری برای مخابر مصرف خواهد شد. عوامل دیگری از قبیل فاصله بین حسگر فرستنده و گیرنده نیز در میزان مصرف انرژی بابت مخابر مؤثرند که براساس نوع الگوی کانال (فضای آزاد یا فیدینگ چندمسیری) تأثیر مصرف انرژی بابت مخابر، متفاوت خواهد بود؛ اما در خصوص مصرف انرژی بابت محاسبه، هنگامی که از روش حسگری فشرده استفاده می‌شود، شاخص مهم و تأثیرگذار در مصرف انرژی، طول بسته‌های فشرده شده است که براساس الگوی سیگنال حسگری فشرده تعیین شده که در این مقاله آن را با M نشان داده‌ایم. اگر چه با کاهش M انرژی مصرفی بابت محاسبه و مخابر کاهش می‌یابد، بازیابی دقیق سیگنال نیز می‌تواند تحت الشاعع قرار گیرد. بنابراین، باتوجه به عدد تنکی سیگنال (k)، انتخاب مقدار مناسبی برای M با برقراری مصالحه‌ای بین بازیابی دقیق سیگنال و بهبود مصرف انرژی انجام خواهد شد.

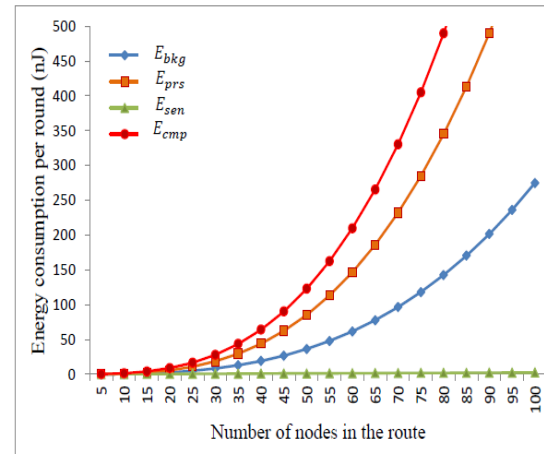


(شکل-۱۵): انرژی مصرفی بابت محاسبه در مسیری به طول CDG و $h=100$ به ازای مقادیر مختلفی از M_r در

(Figure-15): Computation energy consumption in the route when $h=100$ for various amounts of M_r in CDG technique

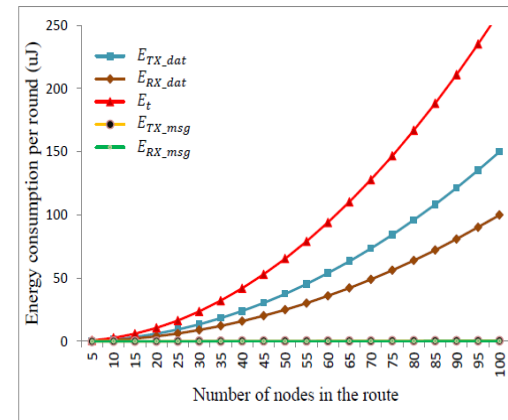
می‌دهند. همچنین آهنگ افزایش انرژی مصرفی بابت پردازش سیگنال، بسیار سریع‌تر از انرژی مصرفی بابت حسگری است. از طرفی مشاهده می‌شود که انرژی مصرفی بابت پس‌زمینه نیز مقدار قابل توجهی از انرژی مصرفی بابت محاسبه را به خود اختصاص می‌دهد. این موضوع بسیار حائز اهمیت است و می‌توان چنین نتیجه گرفت که با به کارگیری پروتکل‌های مناسبی در شبکه، می‌توان مدت زمان آماده‌بکار CPU را کاهش داد تا بهاین ترتیب، انرژی مصرفی بابت پس‌زمینه کاهش یابد. اگرچه مصرف انرژی بابت حسگری و پردازش سیگنال اجتناب‌ناپذیر است، با کاهش انرژی بابت پس‌زمینه که مربوط به حالت آماده‌بکار CPU است، انرژی مصرفی بابت محاسبه بهشت کاهش می‌یابد.

مؤید این نتیجه، پژوهش‌هایی است که در خصوص کاهش زمان آماده بکار در CPU صورت گرفته‌است [29-26]. شکل (۱۴) نمودار تغییرات انرژی مصرفی بابت مخابره را به ازای مقادیر مختلفی از h در یک دوره نمونه‌برداری همراه با مؤلفه‌های آن نشان می‌دهد. مشاهده می‌شود که انرژی مصرفی بابت ارسال و دریافت پیام در مقایسه با انرژی مصرفی بابت ارسال و دریافت داده بسیار ناچیز است. بنابراین، در اغلب موارد، می‌توان از انرژی مصرفی بابت ارسال و دریافت پیام در شبکه صرف‌نظر کرد. همچنین، نتایج حاصل از شکل (۱۳) نشان می‌دهد که بیشترین میزان مصرف انرژی بابت مخابره، مربوط به ارسال داده‌است. شکل‌های (۱۳) و (۱۴) انرژی مصرفی بابت «مخابره» را نشان می‌دهند. نمودارهای این شکل‌ها نشان‌دهنده میزان انرژی مصرفی بابت مخابره است که از فرمول‌های (۱۱)، (۱۲) و (۱۸) تا (۱۵) تا (۱۸) به دست آمده‌اند. در این روابط به دلیل اینکه میزان مصرف انرژی بابت مخابره با توان دوم یا توان چهارم فاصله (d^4 یا d^2) رابطه مستقیم دارد، بنابراین، نمودارهای این شکل‌ها خواهند شد. بنابراین، در روش‌های تجمعی داده باید سعی بر این باشد که تعداد بسته‌های ارسالی داده و همچنین، اندازه این بسته‌ها کاهش یابد تا انرژی کمتری بابت مخابره داده مصرف شود. این نتیجه یکی از دلایل استفاده از روش‌های حسگری فشرده در شبکه حسگری سیم است. برای بررسی تأثیر طول بردار اندازه (M_r) در میزان انرژی مصرفی در مسیری مانند r در روش CDG مسیری به طول ثابت $h=100$ را در نظر می‌گیریم. در این حالت مقدار انرژی مصرفی بابت محاسبه (همراه با



(شکل-۱۳): انرژی مصرفی بابت محاسبه به ازای طول‌های مختلفی از مسیر و $M_r = 5$ در روش

(Figure-13): Computation energy consumption for various lengths of route and $M_r = 5$ in CDG technique



(شکل-۱۴): انرژی مصرفی بابت مخابره به ازای طول‌های مختلفی از مسیر و $M_r = 5$ در روش

(Figure-14): Communication energy consumption for various lengths of route and $M_r = 5$ in CDG technique

کمترین مقدار را دارند. افزایش مقدار M_r علاوه بر افزایش انرژی مصرفی بابت محاسبه، موجب افزایش انرژی مصرفی بابت مخابره نیز می‌شود. برای داده‌های محیطی، رابطه‌ای به صورت $3k \leq M \leq 4K$ بین تنکی سیگنال و طول بردار اندازه وجود دارد [13]. از طرفی همان‌طور که پیش‌تر بیان شد، CDG در بهترین حالت به ازای $M = \frac{N}{5}$ می‌تواند بازیابی دقیق سیگنال را تضمین کند. اگرچه با کاهش M انرژی مصرفی بابت محاسبه و مخابره کاهش می‌یابد، اما بازیابی دقیق سیگنال نیز تحت الشعاع قرار می‌گیرد. بنابراین، با توجه به عدد تنکی سیگنال (k)، انتخاب مقدار مناسبی برای M با برقراری مصالحه‌ای بین بازیابی دقیق سیگنال و بهبود مصرف انرژی صورت خواهد پذیرفت.

در تحلیل‌های قبل، برای سادگی در محاسبات، میانگین فاصله بین گره‌های حسگر در مسیری به طول h برابر ۵۰ متر در نظر گرفته شد. در این قسمت به بررسی تأثیر فاصله بین گره‌های حسگر در میزان انرژی مصرفی می‌پردازیم.

مؤلفه‌های آن) را به ازای مقادیر مختلفی از طول بردار اندازه (M_r) به دست می‌آوریم. شکل (۱۵) نمودار تغییرات انرژی مصرفی بابت محاسبه در این حالت را نشان می‌دهد. مشاهده می‌شود که انرژی مصرفی بابت حسگری همواره مقداری ثابت و مستقل از M_r است. اما انرژی مصرفی بابت پردازش و پس‌زمینه، با افزایش M_r افزایش می‌یابد. مشاهده می‌شود که به ازای همه مقادیر M_r ، انرژی مصرفی بابت حسگری کمترین مقدار و انرژی مصرفی بابت پردازش بیشترین مقدار را دارند. شکل (۱۶) نمودار تغییرات انرژی مصرفی بابت مخابره (و مؤلفه‌های آن) را به ازای مقادیر مختلفی از M_r در مسیری به طول ثابت h نشان می‌دهد. شکل‌های (۱۵) و (۱۶) انرژی مصرفی بابت «محاسبه» در مسیری به طول $h=100$ (شامل ۱۰۰ حسگر) و به ازای مقادیر مختلفی از M_r (طول بسته‌های داده در مسیر r) را نشان می‌دهند. نمودارهای این شکل‌ها از فرمولهای (۶) تا (۱۰) به دست آمده‌اند که با رجوع به این روابط آشکار می‌شود روابط یادشده، همگی روابطی خطی هستند. در این حالت نیز انرژی مصرفی بابت ارسال داده بیشترین مقدار و انرژی مصرفی بابت دریافت پیام

(جدول-۱): شاخص‌های ورودی شبیه‌ساز و فرضیات

(Table-1): Simulator parameters and assumptions

| فرضیات | شاخص‌های ورودی شبیه‌ساز | | | | | | | | |
|--|-----------------------------------|----------|--------------------|--------------------|---------------------|----------------------|---------------------|----------------------------|--|
| حسگرها ثابت هستند | مشخصات گره‌های حسگر | | | | | | | | |
| سینک ثابت است | الگوی حسگر: Mica2 | | | | | | | | |
| حسگرها موقعیت مکانی خود را می‌دانند. | الگوی پردازشگر: Atmel Atmega 128L | | | | | | | | |
| حسگرها انرژی باقی مانده را محاسبه می‌کنند. | تعداد حسگر در مسیر | h | انرژی ارسال یک بیت | E_{elec} | 50 nJ/bit | توان مصرفی حسگر | P_{sen} | 15.01 mW | |
| توان حسگرها متناسب با فاصله تغییر می‌کند. | تعداد کل مسیرها | r | ضریب تقویت فرستنده | ε_{mp} | 0.0013 $pJ/bit/m^4$ | توان مصرفی پس‌زمینه | P_{bkg} | 9.6 mW | |
| تمام حسگر مشخصه منحصر به خود را دارند. | میانگین فاصله بین حسگرهای مسیر | d_{ij} | ضریب تقویت فرستنده | ε_{fs} | 10 $pJ/bit/m^2$ | زمان پردازش | T_{opr} | $1/(7.4 \times 10^6)$ Sec. | |
| سینک محدودیت انرژی ندارد. | تنکی سیگنال‌ها | k | طول بسته داده | b_{dat} | 1024 bits | انرژی مصرفی خواندن | ε_{mrd} | 0.26 nJ | |
| میزان انرژی اولیه در همه حسگرها یکسان است. | طول داده‌های فشرده شده در مسیر | M_r | طول بسته پیام | b_{msg} | 64 bits | انرژی مصرفی جمع کردن | ε_{add} | 3.30 nJ | |
| حسگرهای مجاور موقعیت یکدیگر را می‌دانند. | تعداد کل گره‌های حسگر شبکه | N | برد آستانه | d_o | 88 m | انرژی مصرفی نوشتن | ε_{mwr} | 4.3 nJ | |

7-References

۷- مراجع

- [1] I. F. Akyildiz, W. Su, Y. Sankarasubramaniam, and E. Cayirci, "Wireless sensor networks: a survey," *Computer Networks*, vol. 38, pp. 393–422, 2002.
- [2] Z. Xiong, A. Liveris, and S. Cheng, "Distributed source coding for sensor networks," *IEEE Signal Processing Magazine*, vol. 21, pp. 80–94, 2004.
- [3] J. Lee, and W. Cheng, "Fuzzy-logic-based clustering approach for wireless sensor networks using energy predication," *IEEE Sensors Journal*, vol. 12, pp. 2891–2897, 2012.
- [4] M. A. Zahhad, O. Amin, M. Farrag, and A. Ali, "An energy consumption model for wireless sensor networks," *IEEE 5th International Conference on Energy Aware Computing Systems & Applications*, Cairo, Egypt, Dec. 2015.
- [5] J. Haupt, W. Bajwa, M. Rabbat, and R. Nowak, "Compressed sensing for networked data," *Signal Processing Magazine*, vol. 25, pp. 92–101, 2008.
- [6] E. Candes and M. Wakin, "An introduction to compressive sampling," *IEEE Signal Processing Magazine*, vol. 25, pp. 21–30, 2008.
- [7] M. B. Wakin, M. F. Duarte, S. Sarvotham, D. Baron, and R. G. Baraniuk, "Recovery of jointly sparse signals from few random," in *Proc. 15th ACM MobiCom*, Beijing, China, pp. 145–156, Sep. 2009.
- [8] J. Tropp and A. Gilbert, "Signal recovery from random measurements via orthogonal matching pursuit," *IEEE Transactions on Information Theory*, vol. 53, pp. 4655–4666, Dec. 2007.
- [9] A. Kulkarni and T. Mohsenin, "Low overhead architectures for OMP compressive sensing reconstruction algorithm," *IEEE Transactions on Circuits and Systems*, vol. 64, pp. 1468–1480, 2017.
- [10] D. L. Donoho, M. Elad, and V. N. Temlyakov, "Stable recovery of sparse over complete representations in the presence of noise," *IEEE Transactions on Information Theory*, vol. 52, no. 1, pp. 6–18, Jan. 2006.
- [11] E. Candes and J. Romberg, "Sparsity and incoherence in compressive sampling," *Inverse Problems*, vol. 23, pp. 969–985, Apr. 2007.
- [12] C. Luo, et al., "Compressive data gathering for large-scale wireless sensor networks," in *Proc. of the 15th annual international conference on Mobile computing and networking (Mobicom)*, pp. 145–156, 2009.
- [13] K. C Lan and M. Z. Wei, "A compressibility-based clustering algorithm for hierarchical compressive data gathering," *IEEE Sensors Journal*, vol. 17, pp. 2550–2562, Apr. 2017.
- [14] B. Ali, N. Pissinou, and K. Makki, "Identification and validation of spatio-temporal associations in wireless sensor networks," in *Proc. SENSORCOMM*, Athens, Greece, pp. 496–501, Jun. 2009.

به همین منظور، مسیری را به طول ثابت $h=100$ در نظر می‌گیریم. فرض می‌کنیم که نرخ فشرده‌سازی در این حالت 5 باشد. با توجه به شاخص‌های انرژی شبکه (مطابق جدول ۱)، بیشینه فاصله بین حسگرها به گونه‌ای فرض شده که الگوی انتشار، الگوی فضای آزاد باشد. شکل‌های (۱۷) و (۱۸) به ترتیب نمودار تغییرات انرژی مصرفی بابت مخابره داده و مخابره پیام را نسبت به تغییرات فاصله بین حسگرها مسیر در روش CDG نشان می‌دهد. با توجه به نتایج به دست‌آمده از شکل‌های (۱۷) و (۱۸) در می‌یابیم که انرژی مصرفی بابت دریافت داده و پیام، مستقل از فاصله بین حسگرها بوده و افزایش فاصله بین گره‌های مسیر موجب افزایش انرژی مصرفی بابت ارسال داده و پیام می‌شود. بنابراین، می‌توان نتیجه گرفت که برای بهینه‌سازی مصرف انرژی در شبکه حسگر با مقیاس بزرگ که طول مسیرها نیز افزایش می‌یابد، باید فاصله بین حسگرها را کاهش داد. این امر مستلزم به کارگیری تعداد حسگرها بیشتری در شبکه خواهدبود. بنابراین، ضروری است که مصالحه‌ای بین تعداد حسگرها شبکه و فاصله بهینه بین حسگرها به وجود آورد.

۶- نتیجه‌گیری

برای طراحی بهینه شبکه‌های حسگر بی‌سیم با رویکرد کاهش مصرف انرژی، شناخت منابع مصرف انرژی و ارائه الگوی مصرف انرژی در این شبکه‌ها ضروری است. تاکنون الگوهای مختلفی برای تحلیل انرژی مصرفی در شبکه حسگر بی‌سیم پیشنهاد شده‌است، اما این الگوها بر مبنای حسگری فشرده نبوده‌اند. از این رو در این مقاله، الگوی کاملی برای تحلیل انرژی مصرفی در شبکه حسگر بی‌سیم مبتنی بر حسگری فشرده، به دو دسته انرژی مصرفی بابت مخابره و انرژی مصرفی بابت محاسبه تقسیم‌بندی شده و به همراه مؤلفه‌های آنها، الگو شده‌اند. برای ارزیابی الگوی پیشنهادی، انرژی مصرفی در روش CDG مبتنی بر حسگری فشرده بر اساس الگوی پیشنهادی بررسی شد. استفاده از این الگو می‌تواند به طراحی بهینه شبکه‌های حسگر بی‌سیم مبتنی بر حسگری فشرده کمک مؤثری نماید.

فصل نیم



- sensor networks," 10th International Conference on Mobile Ad-hoc and Sensor Networks, Maui, HI, USA, 2014.
- [28] N. N. Minh and M. K. Kim, "Reducing idle listening time in pipeline-forwarding MAC protocols of wireless sensor networks," IEEE International Conference on Advanced Technologies for Communications (ATC), Hanoi, Vietnam, 2016.
- [29] S.H. Lee and L. Choi, "ZeroMAC: Toward a zero sleep delay and zero idle listening media access control protocol with ultralow power radio frequency wakeup sensor," International Journal of Distributed Sensor Networks, vol. 13, pp. 1-21, 2017.
- [30] M. R. Ghaderi, V. T. Vakili, and M. Sheikhan, "FGAF CDG: fuzzy geographic routing protocol based on compressive data gathering in wireless sensor networks," Journal of Ambient Intelligence and Humanized Computing, pp. 1-23, Published online 17 May 2019 (<https://doi.org/10.1007/s12652-019-01314-1>).



محمد رضا قادری هم اکنون
دانشجوی دکترای مهندسی
مخابرات در دانشگاه آزاد اسلامی
 واحد تهران جنوب است. وی
مدرک کارشناسی خود را در
رشته مهندسی برق- مخابرات در سال ۱۳۷۱ از
دانشگاه خواجه نصیرالدین طوسی و در سال ۱۳۹۳
مدرک کارشناسی ارشد خود را در رشته مهندسی
مخابرات- سیستم از دانشگاه تهران گرفته است.
زمینه های پژوهشی موردعلاقه ایشان عبارتند از:
شبکه های حسگر بی سیم و حسگری فشرده.
نشانی رایانمۀ ایشان عبارت است از:

st_mr_ghaderi@azad.ac.ir



وحید طباطبا وکیلی استاد
دانشگاه های علم و صنعت ایران و آزاد
اسلامی واحد تهران جنوب است.
نامبرده مدرک کارشناسی خود را در
رشته مهندسی برق در سال ۱۳۴۹ از
دانشگاه شریف و در سال ۱۳۵۲ مدرک کارشناسی ارشد
خود را از دانشگاه منچستر انگلستان و در سال ۱۳۵۶
مدرک دکتری تخصصی خود را در رشته مهندسی برق از
دانشگاه برďفورد انگلستان دریافت کرده است. زمینه های
پژوهشی موردعلاقه ایشان عبارتند از: سیستم های سلولی
موبایل، سیستم های CDMA، سیستم های مخابراتی باند
پهن و پردازش و رمزگذاری مکان - زمان.

- [15] M. Leinonen and S. Member, "Sequential compressed sensing with progressive signal reconstruction in wireless sensor networks," IEEE Transactions on Wireless Communication, vol. 14, pp. 1622-1635, Mar. 2015.
- [16] M. Duarte and R. Baraniuk, "Kronecker product matrices for compressive sensing," in Proc. IEEE Int. Conf. Acoust. Speech Signal Process., Dallas, TX, USA, pp. 3650-3653, Mar. 2010.
- [17] M. Mahmudimanesh, A. Khelil, and N. Suri, "Balanced spatio-temporal compressive sensing for multi-hop wireless sensor networks," IEEE 9th Int. Conf. on Mobile Ad hoc and Sensor Systems, Las Vegas, USA, Oct. 2012.
- [18] X. Li, X. Tao, and Z. Chen, "Spatio-temporal compressive sensing based data gathering in wireless sensor networks," IEEE Wireless Communications Letters, vol. 7, pp. 198-201, Apr. 2018.
- [19] M. A. Zahhad, O. Amin, M. Farrag, and A. Ali, "Survey on energy consumption models in wireless sensor networks," Open Transactions on Wireless Communications, vol. 1, pp. 63-79, 2014.
- [20] C. Karakus, A. C. Gurbuz, and B. Tavli, "Analysis of energy efficiency of compressive sensing in wireless sensor networks," IEEE Sensors Journal, vol. 13, pp. 1999-2008, May 2013.
- [21] W. Heinzelman, A. Chandrakasan, H. Balakrishnan, "An application-specific protocol architecture for wireless microsensor networks," IEEE Transactions on Wireless Communications, vol. 1, pp. 660-670, 2002.
- [22] C. Zhou, M. Wang, W. Qu, and Z. Lu, "A wireless sensor network model considering energy consumption balance," Mathematical Problems in Engineering, vol. 2018, pp. 1-8, 2018.
- [23] A. Ali, M. Abo-Zahhad, and M. Farrag, "Modeling of wireless sensor networks with minimum energy consumption," Arabian Journal for Science and Engineering, vol. 42, pp. 2631-2639, Jul. 2017.
- [24] M. Ahmad Jan, P. Nanda, and X. He, "Energy evaluation model for an improved centralized clustering hierarchical algorithm in WSN," in Proc. International Conference on Wired/Wireless Internet Communication, WWIC, pp. 154-167, 2013.
- [25] V. Shnayder, M. Hempstead, B. Chen, G. W. Allen, and M. Welsh, "Simulating the power consumption of large-scale sensor network applications," in Proc. ACM Conf. Embedded Netw. Sensor Syst., pp. 188-200, 2004.
- [26] F. Z. Djiroun and D. Djenouri, "MAC protocols with wake-up radio for wireless sensor networks: a review," IEEE Communications Surveys & Tutorials, vol. 19, pp. 587-618, 2017.
- [27] A. Rasul and T. Erlebach, "Reducing idle listening during data collection in wireless

نشانی رایانمۀ ایشان عبارت است از:

vakily@iust.ac.ir



منصور شیخان استاد دانشگاه آزاد
اسلامی واحد تهران جنوب است.
نامبرده مدرک کارشناسی خود را در
رشته مهندسی برق- الکترونیک در
سال ۱۳۶۷ از دانشگاه فردوسی مشهد
و مدارک کارشناسی ارشد و دکتری تخصصی خود را
به ترتیب در سال‌های ۱۳۶۹ و ۱۳۷۵ در رشته مهندسی
مخابرات از دانشگاه آزاد اسلامی گرفته است. زمینه‌های
پژوهشی مورد علاقه ایشان عبارتند از: سیستم‌های
هوشمند، پردازش سیگنال گفتار، امنیت در شبکه‌های
مخابراتی و شبکه‌های عصبی.

نشانی رایانمۀ ایشان عبارت است از:
msheikhn@azad.ac.ir

فصلنامه

سال ۱۴۰۱ شماره ۴ پیاپی ۵۴



۲۱۰